



GL. 9600. Vista del pueblo de Veguillas, por encima del cual se encuentra una cantera en la que se explotan los bancos de "cuarcitas del Alto Rey". (O^q₁₂)



GL. 9601. Bancos de cuarcitas en ocasiones potentes pertenecientes al tramo 0₁₁.



GL. 9602. Vista del tramo PC-Cw-G-γ constituido por neises de grano fino con intercalaciones de cuarcitas, cuarcitas feldespáticas y micacitas.



GL. 9603. Vista de los tramos de neises de grano fino y grano grueso con megacristales (PC-Cw-G-γ y PC-C-G₂) sobre los que descansan discordantemente los materiales mesozoicos.



GL. 9604. Vista general desde el Sur de la parte central de la hoja.



GL. 9605. Detalle de los neises glandulares PC-CG₁ donde se aprecian delgadas intercalaciones de neises cuarzo feldespáticos concordantes con la foliación de la roca.



GL. 9606. Detalle de la formación de neises glandulares PC-CG₁ con intercalación de neises cuarzo-feldespáticos



GL. 9607. Vista parcial de la formación PC-CG₁ de neises glandulares.



GL. 9608. Detalle de la formación neises glandulares PC-CG₁ donde se aprecian con más detalle la potencia de los niveles cuarzo-feldespáticos.



GL. 9609. Neises glandulares con megacristales de feldespato
PC-CG₂



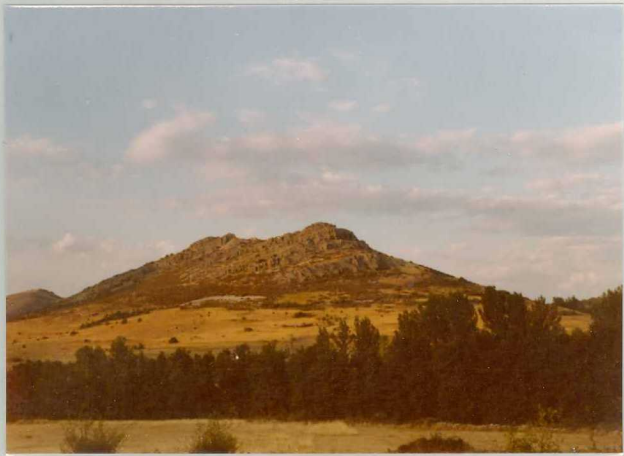
GL. 9610. Neises glandulares de la formación PC-CG₁



GL. 9611. Vista de detalle de los neises glandulares con mega-
cristales de feldespato PC-CG₂



GL. 9613. Detalle de los neises glandulares PC-CG₂ en donde -
se aprecian los megacristales de feldespato



GL. 9614. Vista general de las "cuarcitas del Alto Rey"
(O^q₁₂)



LB. 1221. Vista general de los materiales paleozoicos (0)₃.
En segundo término discordancia entre los materiales permicos (1) (P_{11-12}) y Triásico inf-medio (2) (T_{G1-2}); en primer término recubrimiento de materiales pliocenos, Raña (3) (T_2^B)



LB. 1222. Vista parcial de los afloramientos del Triásico inferior-medio en facies Bunt (T_{G1-2}) próximos al embalse de Pálmaces.



LB. 1223. Vista parcial de los afloramientos pertenecientes al Cretácico superior calco-dolomítico C_{23-25} (1) y - C_{22-23} (2)



LB. 1224. Detalle del tramo C₂₂₋₂₃ constituido por dolomias
y calizas dolomíticas tableadas



LB. 1225. Vista general de las unidades del Cretácico Superior C_{22-23} (1) calco-dolomítico en contacto con C_{21-22} (2) constituido por calizas nodulosas y margas.



LB. 1226. Detalle de la Unidad eocena T_{C2-33}^{A-A} constituida por calizas, calizas margosas y margas.



LB. 1227. Detalle de la formación Pliocena, Raña T₂^B